

# 推移閉包アルゴリズムを用いた Covert Channel 検出

木下研究室

中村 峻生 (200803007)

## 1 はじめに

近年, ネットワーク上の情報リソースにアクセスできる者を設定する, アクセス制御 (Access Control) 技術が発展してきた. これによってネットワーク上の情報リソースは, 権限を持たない者による盗聴などの脅威から保護されている. しかし, covert channel と呼ばれるアクセス制御の脆弱性によって情報漏洩が起きる可能性がある. セキュリティの観点から, covert channel の検出技術の発展が望まれている. 本稿では, covert channel 検出問題を効率的に解くアルゴリズムを提案をする.

## 2 covert channel 検出

アクセスされる対象となる情報リソースを object (客體) と呼び, その集合を  $O$  で表す. object にアクセスする者を subject (主体) と呼び, その集合を  $S$  で表す. ある subject  $y \in S$  がある object  $x \in O$  に read 権限を持つとき  $xRy$  と書き, write 権限を持つとき,  $yWx$  と書く. 全てのアクセス権限を書いたものを ACL (access control list) と呼ぶ. ACL の例を図 1(a) に示す.

ここで, 頂点集合  $V := O \cup S$ , 辺集合  $E := \{(x, y) \in V \times V | xRy \vee xWy\}$  とすれば, ある ACL に対してアクセスグラフ  $G_A = (V, E)$  が定義できる. 図 1(a) の ACL に対する, アクセスグラフは図 1(b) となる.

グラフ  $G = (V, E)$  の推移閉包  $G^+ = (V, E^+)$  とは, ある  $x, y \in V$  で,  $x$  から辺を辿って  $y$  に到達できるとき,  $(x, y) \in E^+$  となるグラフである. 図 1(b)

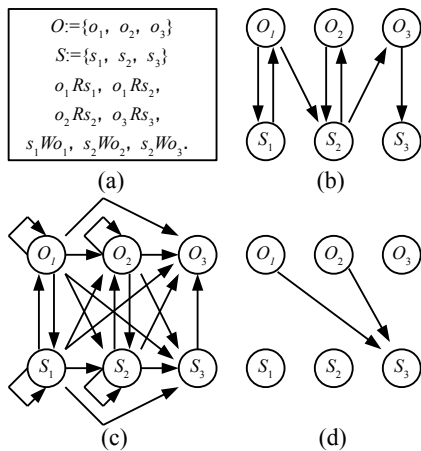


図 1: (a) An example access control list, (b) The access graph  $G_A$  of ACL of (a), (c) The transitive closure  $G_A^+$  of graph  $G_A$  of (b), and (d) The covert channel detection of ACL of (a).

の  $G_A$  に対する, 推移閉包は図 1(c) となる. 例えば,  $s_1 \rightarrow o_1 \rightarrow s_2$  の経路で  $s_1$  から  $s_2$  へ到達できるので,  $(s_1, s_2) \in E^+$  となっている.

$G_A$  の辺は ACL で許可された情報の流れを表す. 一方, その推移閉包  $G_A^+$  の辺は ACL で直接的・間接的に許可された情報の流れを表す. 図 1 において  $(o_1, s_3) \notin E$  であるが,  $(o_1, s_3) \in E^+$  となっている. これは, ACL で直接許可されていない read 権限が間接的に許可された矛盾した状態である. この状態を,  $o_1, s_3$  間に covert channel が存在すると言う. アクセスグラフ  $G_A = (V, E)$  の covert channel 検出  $G_A^\# = (V, E^\#)$  とは,  $E^\# := \{(x, y) \in O \times S | (x, y) \in E^+ - E\}$  となるグラフである. 図 1(b) の  $G_A$  に対する, covert channel 検出は図 1(d) となる.

## 3 提案アルゴリズム

次の検出アルゴリズムを提案する.

1. ACL からアクセスグラフ  $G_A$  を構築する.
2.  $G_A$  から凝縮グラフ  $\bar{G}_A$  の推移閉包  $\bar{G}_A^+$  を計算する.
3.  $G_A$  と  $\bar{G}_A^+$  から covert channel 検出  $G_A^\#$  を計算する.

隣接リスト形式でグラフを表現する場合, step1 の計算量は  $O(|E|)$  である. STACK\_TC[1] を用いた場合, step2 の最悪計算量は  $O(|V||\bar{E}_r| + |V||\bar{V}| + |\mu|)$  である. step3 は  $O(|V|^2)$  で求まる.  $|E| \leq |V|^2, |\mu| \leq |V||\bar{V}| \leq |V|^2$  より, 提案アルゴリズムの最悪計算量は  $O(|V|^2 + |V||\bar{E}_r|)$  である. この最悪計算量は従来の covert channel 検出アルゴリズム [2] の最悪計算量  $O(|V|^2 + |V||E|)$  より優れている. ただし,  $|\bar{E}_r|$  は  $G_A$  の凝縮グラフ  $\bar{G}_A$  の推移還元  $\bar{G}_{Ar}$  の辺数を表し,  $|\bar{E}_r| \leq |\bar{E}| \leq |E|$  が成り立つ.

## 4 まとめ

推移閉包アルゴリズムを用いることで covert channel 検出アルゴリズムの計算量を改善できることを示せた.

## 参考文献

- [1] Esko Nuutila, "Efficient Transitive Closure Computation in Large Digraphs.", ISBN 951-666-451-2, ISSN 1237-2404, 1995.
- [2] 戸田 瑛人, クラウドの情報漏洩解析を高速に行うための MapReduce の適用, 平成 21 年度修士論文